

Ⅲ-2 真砂土粒子節のイオン交換における剪断特性

東北大学生部 正員 山下親平
 " 増田公忠
 市役所 ○ 松本長兵衛

1. まえがき

福井県内各地に広く分布している花崗岩風化土、つまり真砂土は、雨期には各地において災害が発生している問題、多い土質である。そこでこの真砂土の安定化を計るために、本実験を行った。地盤改良を行う工事では処理には種々の工法があるが、今回はイオン交換工法を行った。これは化学的工事に属するものである。現在までに、イオン交換工法についての事が明らかにされているが、その中でイオン交換が透水性に対する影響が明らかである。例へば、モンロリオナイトにおいては、カリ塩の形の方がカルシウム塩の形より透水性が大であり、そして、ナトリウム塩の方が、透水性に与える影響が最も大きいことが、知られている。本実験では、酢酸アンモニウムとシエウ酸アンモニウムを使用し、 NH_4^+ とイオンの交換を行って、 Na^+ と交換を調べ、その有効性を確かめた。

実験に用いた試料は、名古屋市城北付近の真砂土の採取斜面から採取し、母岩は花崗岩であると思われる。試料は採取斜面の上部から下部に向って、3×3Mで採取した。比重は2.671～2.681であり、粒度分布は表1のようになる。この実験においては、2.4Mフルイ通過したものと同様だ。又、試料中の粘土矿物について、定量分析、X線回折、示差熱分析によったところ、その結果、セリサイト、モンモリロナイト、カオリナイト、イライト、ハロイサイトであり、含有量については、モンモリロナイト $\text{No.1} > \text{No.2} > \text{No.3}$ 、イライト $\text{No.2} > \text{No.3} > \text{No.1}$ 、ハロイサイト $\text{No.1} > \text{No.2} > \text{No.3}$ となる。これはイライトが長石類の強い風化作用を受けて、モンモリロナイト、ハロイサイト等に変化したためと思われる。

2. イオン交換装置と方法

装置の概略は、図(2)に示す通りである。試料の直径は4cmである。実験Iにおいては、図(2)のIの方法で行ったが、溶液の透過量を統一することが難しい。試料にひび割れができるものもあるので、時間は6日前とした。実験IIでは、図(2)のIIの方法で行ったとした。この場合、透過程が速やかであるので、透過程時間が調整しやすく、試料にもひび割れができるなかった。又、交換量を調べるために、フレームボックスメーターと、透過程前の溶液中の Na^+ 、 K^+ をPPM並せて求め、交換率を算出した。

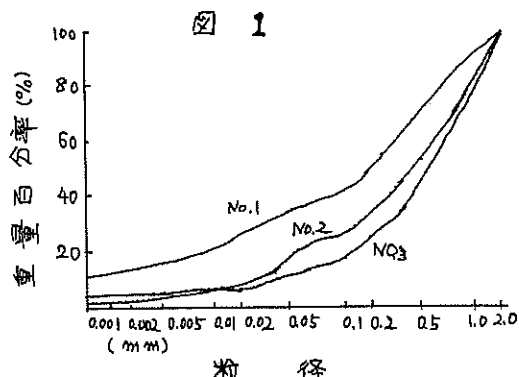


図 1

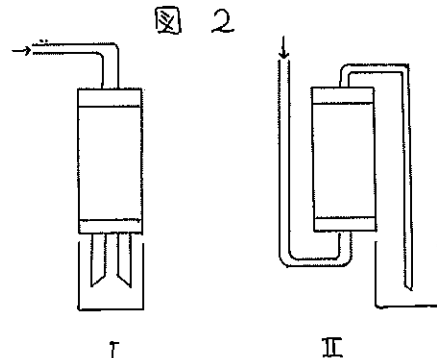


図 2

3. 実験 I

これは溶液による透水係数を求めるものではなく、透過溶液の濃度と透過時間との間に保つことによつて、イオン交換を速く行はし、一定濃度での最大のイオン交換を行つるものである。始めに酢酸アンモニウム溶液の透過を行つた。試料は次のようにして。酢酸アンモニウム溶液 2.5% 透過量 300cc 試料 10g 透過時間 6日前としてある。結果は表-1 の通りである。次より酢酸アンモニウム溶液を用いた場合、 Na_2O 交換量には明らかに変化が見られるが、 K_2O については、変化はほとんどないと思われる。交換後の試料の剪断試験結果は、図-3、図-4 に示す通りである。粘着力の変化を見るとイオン交換量の多いものには、その増加が明らかである。しかし、内部摩擦角に関しては、変化がほいどうである。

4. 実験 II

実験 I と基礎に透過溶液として、シュウ酸アンモニウムを使用して。これは、単位重量当り NH_4^+ が多いためである。又実験 I では行われた、透水度別と、透過量別の試験を行つた。試験条件は、シュウ酸アンモニウム溶液 2.5% 及び 5%，透過量は、500cc、1000cc、1500cc である。又、透過時間は 24 時間とした。試料は約 30g とした。その結果は、図-5 に示す。このことにより、高濃度で多量ほど、交換率が高くなる。又、実験 I と同様、各試料について剪断試験を行つた。例として N0.1 の剪断試験結果は表-1 である。粘着力については実験 I と同様の傾向が見られる。内部摩擦角にも変化が現われている。これは、室温の低下によるシウ酸アンモニウムの結晶析出の影響かし知れない。今後の検討が必取であると考える。

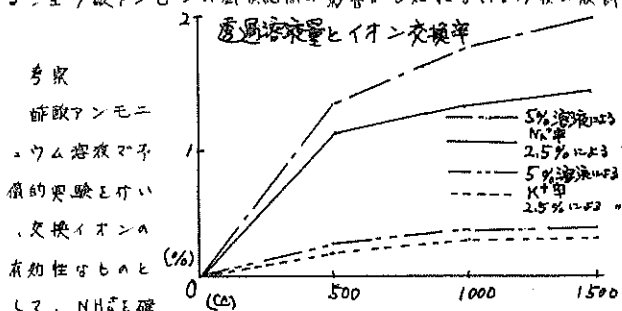


表-5
より得た

図 5

交換を行つた後、シュウ酸アンモニウム溶液を用いた。そして濃度別の有効性を確かめた。イオン交換性のある粘土鉱物を塩類溶液中に浸すと可逆的交換が可みながら起るが、同時に交換が進む。可逆的イオン交換が平衡に達するまでである。イオン浸入度において $\text{Ca}^{2+} > \text{K}^+ > \text{H}^+ > \text{Na}^+$ の順があり、各イオンと切削強度との関係は $\text{NH}_4^+ > \text{H}^+ > \text{K}^+ > \text{Na}^+$ の順があることが認められている。本実験における切削強度の変化は K^+ ほどほとんど変化していないが Na^+ の交換量は大きい方が大きいと思われる。今後、試料中に Mg^{2+} , Ca^{2+} 等に NH_4^+ を置換されれば、切削強度はかなり増大するものと考えられる。

	$\text{Na}_2\text{O}(\%)$	$\text{K}_2\text{O}(\%)$
N0.1 (前)	2.18	0.04
	3.00	0.07
N0.2 (前)	3.06	0.07
	3.70	0.06
N0.3 (前)	2.89	0.08
	3.58	0.07

表
1

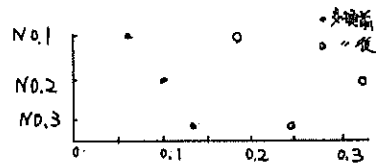


図 3 粘着力 (kg/cm^2)

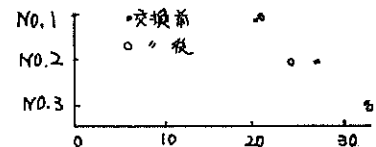


図 4 内部摩擦角 (度)

試料 N0.1	粘着力 (kg/cm^2)		摩擦角 ϕ
	透過なし	0.000	
2.5% 500cc	0.104	36° 45'	
	0.118	37° 00'	
	0.113	39° 15'	
5.0% 500cc	0.050	31° 05'	
	0.123	30° 10'	
	0.151	31° 35'	

表 (2)